

مطالعه سلول‌های Treg در سلول‌های CD4+ و CD8+ خون محیطی بیماران مبتلا به سرطان پستان

دکتر علیرضا عندیلی^۱، مهتاب تاپاک^۲، دکتر پیمان متقی^۳، دکتر شادی بابازاده^۴،
دکتر عباس رضایی^۵، دکتر منصور ثالثی^۶

چکیده

مقدمه: سلول‌های ایمنی و سایتوکین‌های آن‌ها در سرنوشت بدخیمی‌ها مؤثر هستند. سلول‌های Tregs (Regulatory T cells) گروه به نسبت جدیدی از سلول‌های T هستند که در تنظیم سایر سلول‌های اجرایی سیستم ایمنی از جمله ۱ (T_H1) و ۲ (T_H2) T helper ۱ و ۲ (T_H1) T helper ۲ (T_H2) T helper ۲ می‌باشند. ۳ فاکتور نسخه‌برداری (Forkhead winged-helix protein) به عنوان فاکتور شاخص Foxp3+ شناخته شده است. تاکنون چندین زیر مجموعه از سلول‌های T تنظیمی Foxp3+ شناسایی شده‌اند که گروه‌های CD8+ Foxp3+ CD4+ Foxp3+ از جمله‌ی آن‌ها هستند.

روش‌ها: سلول‌های تک هسته‌ای خون محیطی پس از خون‌گیری از ۴۸ بیمار مبتلا به سرطان پستان و نیز از گروه شاهد سالم تهیه گردید. نمونه‌ها پس از آماده‌سازی و رنگ‌آمیزی با آنتی‌بادی‌های کثربوگه‌ی ضد CD4، CD8 و Foxp3 تیمار شدند و برای سنجش مارکرها به روش فلوسیتومتری آماده‌سازی شدند.

یافته‌ها: آنالیز یافته‌های فلوسیتومتری و آماری نشان داد که میانگین سلول‌های واجد بروز Foxp3 در جمعیت سلول‌های CD4+ در گروه شاهد برابر 0.30 ± 0.25 درصد و در گروه بیماران برابر 0.074 ± 0.075 درصد محاسبه گردید ($P = 0.004$). میانگین فراوانی سلول‌های واجد بروز Foxp3 در جمعیت سلول‌های CD8+ در افراد گروه‌های شاهد و بیماران به ترتیب 0.16 ± 0.063 و 0.17 ± 0.071 درصد بود ($P = 0.08$). با این که تعداد گلبول‌های سفید خون و لنفوسیت‌های مبتلایان به بدخیمی پستان از گروه شاهد کمتر بود، ولی از لحاظ آماری تفاوت معنی‌داری حاصل نگردید ($P > 0.05$).

نتیجه‌گیری: نتایج این بررسی نشان می‌دهد که با این که کلون‌های سلول‌های Treg-Foxp3+ در خون محیطی فراوانی قابل توجهی ندارد، ولی کمیت تغییرات آن‌ها در بدخیمی پستان قابل سنجش است. این تغییرات ممکن است عامل مؤثری در زمینه‌ی استعداد ابتلا به بیماری و یا تغییرات در ضمن روند بیماری تلقی گردد. بنابراین هدف قرار دادن سلول‌های Treg می‌تواند از اهداف نوین روش‌های درمانی ایمونولوژیک باشد.

وازگان کلیدی: سرطان پستان، سلول‌های T تنظیمی، سلول‌های Foxp3، سلول‌های CD4، سلول‌های CD8

مقدمه
Interleukin 12 (IL-12) در پاسخ به T_H1 از لنفوسیت‌های CD4+ تولید می‌شوند. ترشح سایتوکینی غالب آن‌ها IL-2 و IFN-γ (Interferon-γ) و نقش آن‌ها تقویت مکانیسم‌های ایمنی سلولی است. از

به طور معمول سلول‌های T یاریگر (T helper) بر حسب سایتوکین‌هایی که تولید می‌کنند به گروه‌های T_H1 و T_H2 و T_H17 تقسیم می‌شوند (۱). سلول‌های

^۱ دانشیار، گروه ایمنی‌شناسی، دانشکده‌ی پزشکی، دانشگاه علوم پزشکی اصفهان، اصفهان، ایران

^۲ کارشناسی ارشد، گروه ایمنی‌شناسی، دانشکده‌ی پزشکی، دانشگاه علوم پزشکی اصفهان، اصفهان، ایران

^۳ دانشیار، گروه داخلی، دانشکده‌ی پزشکی، دانشگاه علوم پزشکی اصفهان، اصفهان، ایران

^۴ متخصص تومور شناسی و رادیوتراپی، بیمارستان سیدالشهدا (ع)، دانشگاه علوم پزشکی اصفهان، اصفهان، ایران

^۵ استاد، گروه ایمنی‌شناسی، دانشکده‌ی پزشکی، دانشگاه علوم پزشکی اصفهان، اصفهان، ایران

^{نویسنده‌ی مسؤول}: دکتر علیرضا عندیلی

عنوان فاکتور شاخص رده و عامل توسعه و همچنین حفظ فعالیت مهاری سلول‌های Treg است که به طور اختصاصی در سلول‌های TCD4+CD25^{high} بیان می‌شود (۱۲). دسته‌ای از سلول‌های Treg وجود دارند که از تیموس مشتق نمی‌شوند و در محیط قابلیت تولید دایم Foxp3 را کسب می‌نمایند. در انسان منبع عمده‌ی سلول‌های Treg را این سلول‌ها تشکیل می‌دهند (۱۳). بنابراین Foxp3 مارکر ملکولی اختصاصی سلول‌های Treg در خون محیطی انسان شناخته شده است (۱۴). کاهش بیان Foxp3 با کاهش عملکرد مهاری سلول‌های Treg و تبدیل سلول‌های T به سلول‌های اجرایی (Effector) همراه است که باعث ایجاد بیماری‌های خودواکنشگر ایمنی می‌شود (۱۵). جهش در ژن Foxp3 در مدل آزمایشگاهی ایجاد بیماری شدید خودایمنی/آلرژی (IPEX, Immunodysregulation, polyendocrinopathy, or enteropathy, X-linked) می‌کند که با نقص ایمنی (enteropathy, X-linked) می‌شخص می‌شود (۱۶-۱۷). به تازگی تکوین و بروز ژن Foxp3 در زیر گروه‌های سلول‌های CD8 نیز گزارش شده است (۱۸). سلول‌های CD8 با تحریک مداوم آنتی ژن در حضور مونوکیت‌های CD14+ CD4+ می‌شوند و برخلاف سلول‌های تنظیمی سلول‌های CD8+ به طور عمدۀ با مکانیسم تماسی خاصیت مهاری خود را اعمال می‌کنند (۱۹).

در انسان گزارشاتی مبنی بر افزایش Treg در خون محیطی بیماران سرطانی و تلاش برای حذف آن‌ها در in vivo جهت تقویت بقای ایمنی یا روشهای برای ایمونوتراپی پیشنهاد شده است (۲۰). نتایج مطالعه‌ی Hueman و همکاران نشان داد که سلول‌های CD4+ CD25+ Treg

سوی دیگر سلول‌های T_H2 در حضور IL-4 تمايز پیدا می‌کند. این سلول‌ها IL-4، IL-5 و IL-13 تولید می‌کنند و به طور معمول ایمنی همورال را تقویت می‌کنند و نیز در پاکسازی عفونت‌های انگلی اهمیت دارند (۲). عدم تعادل T_H1 و T_H2 ممکن است در بروز پیشرفت بیماری‌های متعدد و عوارض حاصل از آن‌ها مؤثر باشد. آرتربیت روماتویید (Rheumatoid arthritis) یا (RA)، دیابت نوع ۱ و اسکلروز متعدد یا (Multiple sclerosis) از جمله بیماری‌های مزمن التهابی و خودایمنی هستند که زیرمجموعه‌های T_H1 در آن‌ها غالب است. ولی بیماران با سرطان پیشرفت‌هه اغلب دچار اختلال ایمنی با واسطه‌ی سلولی و تغییرات سلول‌های اجرایی ایمنی همراه با گرایش به T_H2 در محیط تومور می‌شوند (۵). سلول‌های T تنظیمی (Regulatory T cells) یا Treg اندوئرال ایمنی بدن هستند که در بلوکه نمودن فعالیت T_H1 و T_H2 و یا هر دو دخالت دارند و با بیان دایمی زنجیره‌ی آلفای گیرنده‌ی ایترلوکین ۲ (CD25) شناخته می‌شوند (۶). سلول‌های Treg زیرمجموعه‌ی مشخصی از سلول‌های T هستند که می‌توانند هم پاسخ‌های ایمنی همورال و هم سلولی را مهار کنند (۷-۸). نقش سلول‌های Treg در شبکه‌ی سلول‌های ایمنی توسط Sakaguchi و همکاران اثبات شده است (۹). سلول‌های Treg نماینده‌ی زیرمجموعه‌ی مهمی از سلول‌های TCD4+ هستند که در حفظ تحمل ایمنی به خود نقش دارند و حدود ۵-۱۰ درصد سلول‌های TCD4+ در خون محیطی انسان را شامل می‌شوند (۱۰) و از تیموس منشأ می‌گیرند (۱۱). Forkhead box protein 3 (Foxp3) عضو خانواده‌ی Fork head winged helix به فاکتور نسخه‌برداری

مشابه آماده سازی گردید. انجام شمارش سلولی به روش استاندارد از خون گرفته شده در لوله‌ی حاوی ماده‌ی ضد انعقاد، با دستگاه هماتولوژی اتوماتیک انجام شد. در این بررسی نمونه‌های با تشخیص سرطان پستان وارد مطالعه گردیدند و سایر تشخیص‌ها از مطالعه خارج شدند.

برای آماده‌سازی نمونه جهت خوانش با فلوسیتومتری، خون گرفته شده از بیمار در لوله‌ی حاوی هپارین با همان حجم فسفات بافر ایزوتونیک (Phosphate-buffered saline PBS) یا سرد (CD4+ CD25+ RA و CD4+ CD25+ CD45+ Linehan و Goedegebuure) مخلوط شد و سپس روی شب چگالی فایکول هایپاک با چگالی ۱/۰۷۷ قرار گرفت (۲۶). پس از انجام سانتریفیوژ یخچال دار بدون استفاده از ترمز و مشاهده‌ی سلول‌ها در حد فاصل دو لایه‌ی فایکول، لایه‌ی سلولی توسط پیپت پاستور جدا شد و در لوله‌ای با بافر Hank's دو بار شستشو داده شد. پس از جداسازی سلول‌های تک هسته‌ای خون محیطی (Peripheral blood mononuclear cell PBMC) یا آنتی‌بادی‌های مورد استفاده و کنترل منفی (بدون آنتی‌بادی)، سلول‌ها در لوله‌ها تقسیم گردید. سپس مقدار ۱۰ میکرولیتر از آنتی‌بادی‌های مونوکلونال کثروگهی ضد CD4 و CD8 به لوله‌های مورد اشاره به طور مجزا اضافه شد. نمونه‌ها به مدت ۲۰ دقیقه در تاریکی (برای اجتناب از نور) انکوبه شد. بعد از رنگ‌آمیزی سطح سلولی در مرحله‌ی بعد برای رنگ‌آمیزی داخل سلولی آنتی‌بادی ضد Foxp3 اضافه گردید و به مدت ۴۵ دقیقه همراه با ورتکس شدید انکوبه شد. سپس آنتی‌بادی‌های اضافه و واکنش نداده دو مرتبه با بافر PBS شستشو داده شدند و نمونه‌ها در ۳۰۰-۴۰۰ میکرولیتر از بافر PBS برای آنالیز فلوسیتومتری FACSCalibur (BD, USA) قرار

پستان افزایش می‌یابد (۲۱). همچنین Liyanage و همکاران اعلام کردند که سلول‌های TCD4+ CD25+ Treg در خون محیطی و در محیط اطراف تومور در بیماران مبتلا به آدنوکارسینومای پستان افزایش می‌یابد (۱). یافته‌های Knutson و همکاران در مدل موشی سرطان پستان نشان داد که سلول‌های Treg در سرطان خود به خودی پستان افزایش می‌یابد (۲۲). Wolf و همکاران (۲۳) با استفاده از مارکرهای CD4+ CD25+ RA و CD4+ Goedegebuure و Linehan CD25+ مشخص نمودند که این سلول‌ها در بیماران مبتلا به سرطان پستان افزایش معنی‌داری داشته است. طبق مطالعات موجود می‌توان از سلول‌های Treg به عنوان پایه‌ی درمان ایمونولوژیکی در بیماری‌های مرتبط استفاده نمود، ولی در مورد تغییرات Treg در مراحل مختلف بیماری‌ها و در روند درمان آن‌ها اطلاعات کم و گاه متناقضی وجود دارد که مانع از طراحی جامع و بهینه در جهت گسترش ایمونوتراپی شده است (۲۵).

در مطالعه‌ی حاضر میانگین مقادیر سلول‌های T اجرایی CD4 و CD8 واجد شاخص‌های Treg در مبتلیان به سرطان پستان ارزیابی شد.

روش‌ها

در این بررسی از ۴۸ بیمار مبتلا به سرطان پستان در بیمارستان سیدالشهدا (ع) و میلاد واقع در شهر اصفهان مقدار ۵ میلی لیترخون برای آزمایشات معمول، انجام رنگ‌آمیزی و انجام فلوسیتومتری گرفته شد. به علاوه، از ۲۱ فرد سالم که شرایط سنی و جنسی مشابه بیماران داشتند نیز نمونه‌ی خون گرفته شد و با روش

و برای تصحیح اتصالات غیر اختصاصی و کتلرل زمینه‌ای از آنتی‌بادی ایزوتاپ موشی جهت کتلرل روند خوانش استفاده شد و نتایج به صورت هیستوگرام یا دات‌پلات جهت مطالعات تکمیلی در فایل‌های مجزا جمع‌آوری گردید (۲۰).

در این مطالعه شمارش گلبول‌های سفید توسط دستگاه هماتولوژی اتوماتیک انجام شد. درصد لنفوцит‌ها از محاسبه‌ی Differential آنالیز نمونه‌ها حاصل گردید و نسبت اعداد در ده هزار سلول خوانده شده توسط فلوسیتومتری محاسبه گردید. اطلاعات حاصل از فلوسیتومتری با استفاده از نرم افزار CellQuest تحلیل آماری گردید. نتایج به صورت میانگین و انحراف معیار برای هر گروه از نمونه‌ها بیان شد. جهت مقایسه‌ی گروه شاهد با بیماران آزمون Student-t در نرم افزار SPSS (SPSS Inc., Chicago, IL) استفاده گردید. شاخص معنی‌دار آماری $P < 0.05$ در نظر گرفته شد.

یافته‌ها

میانگین تعداد گلبول‌های سفید در بیماران مبتلا به سرطان پستان قبل از شیمی درمانی 2178 ± 5306 و بعد از آن 2250 ± 4815 و در افراد گروه شاهد 1658 ± 6309 بود. مقایسه‌ی آماری نشان داد که میانگین گلبول‌های سفید بیماران قبل و بعد از شیمی درمانی اختلاف معنی‌داری نداشت ($P = 0.711$). مقایسه‌ی میانگین تعداد گلبول‌های سفید در گروه شاهد با مبتلایان قبل از شیمی درمانی نیز اختلاف معنی‌داری نداشت ($P = 0.152$ ، اما با میانگین گلبول‌های سفید در گروه بیماران بعد از شیمی درمانی تفاوت معنی‌داری داشت ($P = 0.01$).

گرفتند. از آنتی‌بادی‌های زیر جهت انجام آزمایشات استفاده گردید:

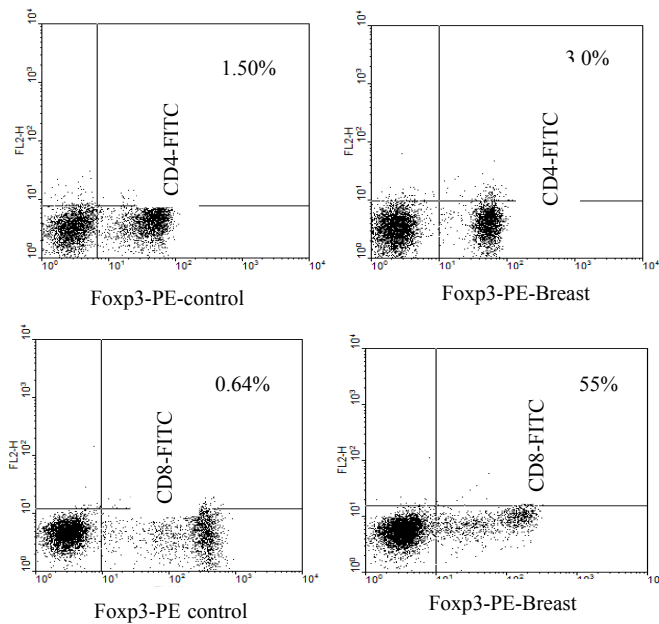
Phycoerythrin (PE) conjugated Anti-human Foxp3 monoclonal antibody (BD Bioscience, clone#259D/C7)

Fluorescein Isothiocyanate (FITC) conjugated Anti-human CD4 monoclonal antibody (mouse IgG1, From BD Bioscience, clone# MOPC-21)

Fluorescein Isothiocyanate (FITC) conjugated Anti-human CD8 monoclonal antibody (mouse IgG1, BD Bioscience, clone#MOPC-21)

Mouse IgG/IgG Isotype control (BD Bioscience, clone# X40)

سیستم فلوسیتومتری بر مبنای تشخیص رنگ‌های فلورسنت متصل به مارکرهای در حال حرکت در مقابل دتکتورهای حساس می‌باشد. در این مطالعه از فلوروکروم ایزوتوپیسانات فلورسین (FITC) متصل به مارکرها ویژه‌ی خوانش با دستگاه فلوسیتومتری استفاده گردید که به دلیل فلورسنت بودن توانایی جذب طیف نوری ۴۸۸ نانومتر و انعکاس طول موج بالاتر از آن را (۵۳۰ نانومتر) دارد. به علاوه از فلوروکروم فیکواریترین (PE) که طیف جذبی متفاوت (۵۷۰ نانومتر) در انعکاس طول موج دارد، برای تمایز مارکرهای رنگ‌آمیزی شده استفاده گردید. چنان‌چه در پلات‌های آنالیز مشاهده می‌گردد (شکل ۱)، در سیستم فلوسیتومتری مقادیر هر کدام از نورهای جذب شده از مارکرهای سلول‌های رنگ‌آمیزی شده توسط سیستم رایانه‌ایی به صورت گراف‌ها و اعداد محاسبه شده منعکس می‌شود که از آن‌ها به صورت داده‌های آماری استفاده شد. لوله‌های حاوی سلول‌های رنگ‌آمیزی شده با آنتی‌بادی‌های مونوکلونال با گیت (Gate) نمودن دستگاه با لنفوцит‌ها تنظیم شد تا سلول‌های دیگر را از آنالیز خارج کند. به طور معمول در این سیستم ۱۰۰۰۰ سلول از هر لوله شمارش می‌شود. نتایج به صورت درصد کل PBMC در سوسپانسیون سلولی گزارش شد



شکل ۱. نتایج فلوسیتومتری به صورت دات پلات از یک بیمار مبتلا به سرطان پستان یک نمونه‌ی کنترل نشان داده شده است. به طور عموم در این گونه نمودارها هر نقطه حاصل نمایش یک سلول مورد مورد خواش می‌باشد (شباهت پارامترهای سلول‌های مشابه باعث بر هم قرار گرفتن نقاط در صفحه می‌گردد). بر حسب طراحی نرم‌افزار هر صفحه‌ی دات پلات با دو خط عمود بر هم به چهار کادر تقسیم می‌گردد. نقاط موجود در خانه‌ی چپ پایین نمایانگر کنترل سلولی بدون رنگ و یا در نمونه‌های رنگ‌آمیزی شده به عنوان جمعیت سلولی قادر پارامترهای به کار برده شده می‌باشد. قادر چپ بالایی در کنار محور Y نمایانگر درصد سلول‌های رنگ‌آمیزی شده با مارکر متصل به فلوروکروم ایزوتوپیسانات فلورسین (FITC) یا FITC (Fluorescein Isothiocyanate) و از لحاظ فلوروکروم فیکواریتین (PE) منفی می‌باشد. قادر سمت راست پایین نمایانگر درصد سلول‌های رنگ‌آمیزی شده با مارکر متصل به PE و از لحاظ FITC منفی می‌باشد. قادر سمت راست بالا شامل درصد سلول‌هایی است که واجد هر دو مارکر متصل به FITC و PE یا مثبت دوگانه (Double positive) می‌باشد. پلات‌های ارائه شده به عنوان نماینده‌ی بررسی مطالعه شده در سلول‌های CD8 CD4 یا CD4 (Foxp3) Forkhead box protein 3 نشان داده شده است.

شیمی‌درمانی ($P = 0/156$) و بعد از شیمی‌درمانی ($P = 0/832$) مشاهده نشد.

میانگین سلول‌های واجد بروز Foxp3 در جمعیت سلول‌های TCD⁺⁴ در گروه شاهد برابر $1/25 \pm 0/3$ درصد و در گروه بیماران برابر $1/75 \pm 0/74$ درصد محاسبه گردید. مقایسه میانگین فراوانی سلول‌های CD4+ Foxp3+ Treg بین گروه شاهد و بیماران نشان دهنده افزایش معنی‌دار درصد سلول‌های CD4+ Foxp3+ Treg بود ($P = 0/004$).

میانگین فراوانی سلول‌های واجد بروز Foxp3 در جمعیت سلول‌های TCD⁺⁸ در گروه شاهد برابر

داده‌های به دست آمده نشان داد که تعداد لنفوسيت‌ها در گروه بیماران قبل از شیمی‌درمانی 1740 ± 680 ($39/26 \pm 20/79$) درصد گلبول‌های سفید) و بعد از شیمی‌درمانی 1564 ± 1030 یا $16/35 \pm 16/54$ درصد گلبول‌های سفید) و در گروه شاهد برابر $34/32 \pm 8/49$ ($20/57 \pm 33/7$ یا ($20/57 \pm 33/7$ درصد گلبول‌های سفید) بوده است. مقایسه میانگین لنفوسيت‌ها در گروه بیماران قبل و بعد از شیمی‌درمانی اختلاف آماری معنی‌داری نداشت ($P = 0/249$). تفاوت آماری معنی‌داری نیز بین لنفوسيت‌های گروه بیماران و شاهد قبل از

Linehan و Goedegebuure (۲۴) نیز نتایج مشابهی گزارش شده و افزایش فراوانی این سلول‌ها در انواع مختلف سرطان‌ها از جمله بدخیمی سلول‌های اپی‌تیال و آدنوکارسینوما نیز مشاهده شده است (۱). گزارش Miller و همکاران نشان داد که فراوانی سلول‌های Treg CD4+ CD25+ در بیماران مبتلا به سرطان پروستات نیز افزایش داشته است (۳۰). نتایج آزمایشات ما نیز یافته‌های ایشان را تأیید نمود. از این شباهت می‌توان نتیجه‌گیری نمود که افزایش سلول‌های Treg ممکن است محیط رشد مناسبی را جهت رشد سلول‌های سرطانی در بدن فراهم آورد. نتایج ما نشان می‌دهد که تعداد مطلق TCD4+ در بیماران مبتلا به سرطان پستان در مقایسه با گروه شاهد کاهش داشته است که این کاهش می‌تواند به علت اثرات شیمی‌درمانی باشد (۲۵). به علاوه کاهش در این سلول‌ها می‌تواند در جهت تضعیف سیستم ایمنی عمل کند. این یافته‌ها با بررسی Mackall و همکاران تشابه دارد (۳۱). از آن جایی که مطالعه‌ی ما تعداد سلول‌های Treg را در خون نشان می‌دهد، ممکن است نشان‌دهنده‌ی تعداد یا انعکاسی از سلول‌های Treg در سطح بافت نباشد. بررسی‌های ایمونوهویستوشیمی بافت توموری و مقایسه‌ی آن با خون محیطی می‌تواند تأثیرات محیط تومور را در PBMC تغییر درصد Treg‌ها در بافت، در قیاس با Treg تقویت کند. از آن جا که حذف سلول‌های Treg ممکن است بتواند پاسخ‌های ضد تومور مؤثر ایمنی را آشکار کند. بنابراین انتقال مجدد سلول‌های Treg به محل تومور ممکن است به انحراف پاسخ‌های T اختصاصی تومور به زیرگروه‌های تنظیمی منجر شود و در نتیجه ایمنی مؤثر ضد توموری را از بین ببرد (۳۲).

$0/16 \pm 0/63$ درصد و در گروه بیماران برابر $0/17 \pm 0/71$ درصد بود ($P = 0/080$).

بحث

در حال حاضر پذیرفته شده است که سلول‌های Treg مراقبت ایمنی مؤثر ضد توموری را بر هم می‌زنند و مانع عملدهای برای توسعه‌ی موفقیت‌آمیز ایمونوتراپی سرطان‌ها هستند. بر اساس تحقیقات انجام شده در بیماران مبتلا به سرطان پستان، افزایش نفوذ Treg به تومورهای اولیه، وضعیت بالینی ناخوشایندی را قابل پیش‌بینی می‌کند (۲۷). در شرایط آزمایشگاهی، سلول‌های Treg جدا شده از بیماران مبتلا به سرطان پستان تکثیر سلول‌های T اجرایی را مهار می‌نمایند (۲۸). در بررسی حاضر فراوانی و شمارش مطلق SLOL‌های CD8+ Foxp3+ CD4+ Foxp3+ Treg در خون محیطی بیماران مبتلا به سرطان پستان اندازه‌گیری و با گروه شاهد مقایسه گردید. یافته‌های ما نشان داد که تفاوت آماری معنی داری در فراوانی سلول‌های CD4+ Foxp3+ Treg در خون محیطی بیماران با گروه شاهد وجود داشت. افزایش سلول‌های T تنظیمی در محل تومور ممکن است رشد موضعی تومور را افزایش دهد، در حالی که افزایش این سلول‌ها در خون محیطی مربوط به پیشرفت بیماری سیستمیک می‌باشد. این گونه نتایج می‌توانند استراتژی‌های جدیدی را برای ایمونوتراپی قابل تبیین نماید (۲۹).

نشان داده شده است که سلول‌های CD4+ CD25+ Treg در خون محیطی مبتلایان به سرطان پستان افزایش می‌یابد (۲۱). در مطالعات Knutson و همکاران (۲۲)، Wolf (۲۳) و

خودایمنی باشد. به علاوه در سایر بیماری‌ها گزارش‌هایی از حضور CD4+ Foxp3+ در روند بیماری‌ها بیان شده است. به عنوان مثال در مطالعه‌ی Frisullo و همکاران تفاوت معنی‌داری از لحاظ درصد سلول‌های CD8+ CD25+ Foxp3+ Treg در بیماران مبتلا به MS با گروه سالم مشاهده نگردید (۳۶)، ولی در گزارش Lim و همکاران درصد سلول‌های CD8+ CD25+ Foxp3+ Treg در مبتلایان به ایدز افزایش داشت (۳۷). این زیر مجموعه از سلول‌های CD8 ممکن است در مقاومت‌های ویروسی و پیشرفت روند سرطان نیز نقش داشته باشند (۳۶). این تغییرات ممکن است عامل مؤثری در استعداد ابتلا به بیماری باشد و هدف قرار دادن سلول‌های Treg شاید بتواند به عنوان روشی نوین درمانی مطرح باشد که در بعضی از بررسی‌های اخیر نیز منعکس شده است (۳۸).

تشکر و قدردانی

این مطالعه با شماره‌ی ۳۸۹۲۰۳ در معاونت پژوهشی دانشگاه علوم پزشکی اصفهان ثبت و حمایت مالی شد. نویسنده‌گان ضمن آرزوی سلامتی، از بیمارانی که در پژوهه شرکت نمودند قدردانی می‌نمایند.

References

- Liyanage UK, Moore TT, Joo HG, Tanaka Y, Herrmann V, Doherty G, et al. Prevalence of regulatory T cells is increased in peripheral blood and tumor microenvironment of patients with pancreas or breast adenocarcinoma. *J Immunol* 2002; 169(5): 2756-61.
- Wilson NJ, Boniface K, Chan JR, McKenzie BS, Blumenschein WM, Mattson JD, et al. Development, cytokine profile and function of human interleukin 17-producing helper T cells. *Nat Immunol* 2007; 8(9): 950-7.
- Cope AP. T cells in rheumatoid arthritis. *Arthritis Res Ther* 2008; 10(Suppl 1): S1.
- Kidd P. Th1/Th2 balance: the hypothesis, its limitations, and implications for health and disease. *Altern Med Rev* 2003; 8(3): 223-46.
- Shurin MR, Lu L, Kalinski P, Stewart-Akers AM, Lotze MT. Th1/Th2 balance in cancer, transplantation and pregnancy. *Springer Semin Immunopathol* 1999; 21(3): 339-59.
- McGuirk P, Mills KH. Pathogen-specific regulatory T cells provoke a shift in the Th1/Th2 paradigm in immunity to infectious diseases. *Trends Immunol* 2002; 23(9): 450-5.
- Shevach EM. CD4+ CD25+ suppressor T cells: more questions than answers. *Nat Rev Immunol*

- 2002; 2(6): 389-400.
8. Mottonen M, Heikkinen J, Mustonen L, Isomaki P, Luukkainen R, Lassila O. CD4+ CD25+ T cells with the phenotypic and functional characteristics of regulatory T cells are enriched in the synovial fluid of patients with rheumatoid arthritis. *Clin Exp Immunol* 2005; 140(2): 360-7.
 9. Sakaguchi S, Yamaguchi T, Nomura T, Ono M. Regulatory T cells and immune tolerance. *Cell* 2008; 133(5): 775-87.
 10. Van Amelsfort JM, Jacobs KM, Bijlsma JW, Lafeber FP, Taams LS. CD4(+)/CD25(+) regulatory T cells in rheumatoid arthritis: differences in the presence, phenotype, and function between peripheral blood and synovial fluid. *Arthritis Rheum* 2004; 50(9): 2775-85.
 11. Jordan MS, Boesteanu A, Reed AJ, Petrone AL, Holenbeck AE, Lerman MA, et al. Thymic selection of CD4+/CD25+ regulatory T cells induced by an agonist self-peptide. *Nat Immunol* 2001; 2(4): 301-6.
 12. Williams LM, Rudensky AY. Maintenance of the Foxp3-dependent developmental program in mature regulatory T cells requires continued expression of Foxp3. *Nat Immunol* 2007; 8(3): 277-84.
 13. Pillai V, Karandikar NJ. Human regulatory T cells: a unique, stable thymic subset or a reversible peripheral state of differentiation? *Immunol Lett* 2007; 114(1): 9-15.
 14. Hori S, Nomura T, Sakaguchi S. Control of regulatory T cell development by the transcription factor Foxp3. *Science* 2003; 299(5609): 1057-61.
 15. Wan YY, Flavell RA. Regulatory T-cell functions are subverted and converted owing to attenuated Foxp3 expression. *Nature* 2007; 445(7129): 766-70.
 16. Bennett CL, Christie J, Ramsdell F, Brunkow ME, Ferguson PJ, Whitesell L, et al. The immune dysregulation, polyendocrinopathy, enteropathy, X-linked syndrome (IPEX) is caused by mutations of FOXP3. *Nat Genet* 2001; 27(1): 20-1.
 17. Boissier MC, Assier E, Biton J, Denys A, Falgarone G, Bessis N. Regulatory T cells (Treg) in rheumatoid arthritis. *Joint Bone Spine* 2009; 76(1): 10-4.
 18. Kiniwa Y, Miyahara Y, Wang HY, Peng W, Peng G, Wheeler TM, et al. CD8+ Foxp3+ regulatory T cells mediate immunosuppression in prostate cancer. *Clin Cancer Res* 2007; 13(23): 6947-58.
 19. Mahic M, Henjum K, Yaqub S, Bjornborth BA, Torgersen KM, Tasken K, et al. Generation of highly suppressive adaptive CD8(+)/CD25(+) FOXP3(+) regulatory T cells by continuous antigen stimulation. *Eur J Immunol* 2008; 38(3): 640-6.
 20. Powell DJ, Jr., Attia P, Ghetie V, Schindler J, Vitetta ES, Rosenberg SA. Partial reduction of human FOXP3+ CD4 T cells in vivo after CD25-directed recombinant immunotoxin administration. *J Immunother* 2008; 31(2): 189-98.
 21. Hueman MT, Stojadinovic A, Storrer CE, Foley RJ, Gurney JM, Shriner CD, et al. Levels of circulating regulatory CD4+/CD25+ T cells are decreased in breast cancer patients after vaccination with a HER2/neu peptide (E75) and GM-CSF vaccine. *Breast Cancer Res Treat* 2006; 98(1): 17-29.
 22. Knutson KL, Dang Y, Lu H, Lukas J, Almand B, Gad E, et al. IL-2 immunotoxin therapy modulates tumor-associated regulatory T cells and leads to lasting immune-mediated rejection of breast cancers in neu-transgenic mice. *J Immunol* 2006; 177(1): 84-91.
 23. Wolf AM, Wolf D, Steurer M, Gastl G, Gunsilius E, Grubeck-Loebenstein B. Increase of regulatory T cells in the peripheral blood of cancer patients. *Clin Cancer Res* 2003; 9(2): 606-12.
 24. Linehan DC, Goedegebuure PS. CD25+ CD4+ regulatory T-cells in cancer. *Immunol Res* 2005; 32(1-3): 155-68.
 25. Rech AJ, Mick R, Kaplan DE, Chang KM, Domchek SM, Vonderheide RH. Homeostasis of peripheral FoxP3(+) CD4 (+) regulatory T cells in patients with early and late stage breast cancer. *Cancer Immunol Immunother* 2010; 59(4): 599-607.
 26. Loos JA, Roos D. Ficoll-isopaque gradients for the determination of density distributions of human blood lymphocytes and other reticulo-endothelial cells. *Exp Cell Res* 1974; 86(2): 333-41.
 27. Wolf AM, Rumpold H, Wolf D, Gastl G, Reimer D, Jenewein N, et al. Role of forkhead box protein 3 expression in invasive breast cancer. *J Clin Oncol* 2007; 25(28): 4499-500.
 28. DeLong P, Carroll RG, Henry AC, Tanaka T, Ahmad S, Leibowitz MS, et al. Regulatory T cells and cytokines in malignant pleural effusions secondary to mesothelioma and carcinoma. *Cancer Biol Ther* 2005; 4(3): 342-6.
 29. Woo EY, Chu CS, Goletz TJ, Schlienger K, Yeh H, Coukos G, et al. Regulatory CD4(+)/CD25(+) T cells in tumors from patients with early-stage non-small cell lung cancer and late-stage ovarian cancer. *Cancer Res* 2001; 61(12): 4766-72.
 30. Miller AM, Lundberg K, Ozenci V, Banham AH, Hellstrom M, Egevad L, et al. CD4+/CD25high T cells are enriched in the tumor and peripheral blood of prostate cancer patients. *J Immunol* 2006; 177(10): 7398-405.
 31. Mackall CL, Fleisher TA, Brown MR, Magrath

- IT, Shad AT, Horowitz ME, et al. Lymphocyte depletion during treatment with intensive chemotherapy for cancer. *Blood* 1994; 84(7): 2221-8.
- 32.** Jarnicki AG, Lysaght J, Todryk S, Mills KH. Suppression of antitumor immunity by IL-10 and TGF-beta-producing T cells infiltrating the growing tumor: influence of tumor environment on the induction of CD4+ and CD8+ regulatory T cells. *J Immunol* 2006; 177(2): 896-904.
- 33.** Liu F, Lang R, Zhao J, Zhang X, Pringle GA, Fan Y, et al. CD8(+) cytotoxic T cell and FOXP3(+) regulatory T cell infiltration in relation to breast cancer survival and molecular subtypes. *Breast Cancer Res Treat* 2011; 130(2): 645-55.
- 34.** Correale J, Villa A. Role of CD8+ CD25+ Foxp3+ regulatory T cells in multiple sclerosis. *Ann Neurol* 2010; 67(5): 625-38.
- 35.** Chaput N, Louafi S, Bardier A, Charlotte F, Vaillant JC, Menegaux F, et al. Identification of CD8+CD25+Foxp3+ suppressive T cells in colorectal cancer tissue. *Gut* 2009; 58(4): 520-9.
- 36.** Frisullo G, Nociti V, Iorio R, Plantone D, Patanella AK, Tonali PA, et al. CD8(+)Foxp3(+) T cells in peripheral blood of relapsing-remitting multiple sclerosis patients. *Hum Immunol* 2010; 71(5): 437-41.
- 37.** Lim A, Tan D, Price P, Kamarulzaman A, Tan HY, James I, et al. Proportions of circulating T cells with a regulatory cell phenotype increase with HIV-associated immune activation and remain high on antiretroviral therapy. *AIDS* 2007; 21(12): 1525-34.
- 38.** Falgarone G, Duclos M, Boissier MC. TNFalpha antagonists in rheumatoid arthritis patients seen in everyday practice. *Joint Bone Spine* 2007; 74(6): 523-6.

Forkhead Box Protein 3 and Regulatory T Cells in Cluster of Differentiation 4 and 8 T cell Subsets in Peripheral Blood of Patients with Breast Cancer

Alireza Andalib PhD¹, Mahtab Tapak MSc², Payman Mottaghi MD³, Shady Babazadeh MD⁴, Abbas Rezaei PhD⁵, Mansoor Salesi MD³

Abstract

Background: Immune cells and their cytokine production affect in the outcomes of many malignancies. Two subsets of cluster of differentiation 4 T cells (TCD4+) are categorized as T helper 1 ($T_{H}1$) and 2 ($T_{H}2$) which differ in their cytokine profile. $T_{H}1/T_{H}2$ cell balance could shift toward $T_{H}2$ -type responsiveness in many malignancies. Regulatory T cells (Treg) are a new group of T cells which are indicated to adjust other immune cells including T helper cells. Forkhead box protein 3 (Foxp3) is a lineage-determining transcription factor for Treg. Several subsets of Foxp3 and Treg have been identified. CD4⁺Foxp3⁺Treg and CD8⁺Foxp3⁺Treg are the main cell population in circulation and were the subject of evaluation in this study.

Methods: Peripheral blood mononuclear cells (PBMC) were obtained from 48 patients with breast cancer and 21 healthy controls. Monoclonal antibodies including anti-CD4, anti-CD8 and anti-Foxp3 were used and specific staining process was performed. Flow cytometry was applied for evaluation and assessment of the markers.

Findings: The percentage of CD4⁺Foxp3⁺Treg was 1.75 ± 0.74 in breast cancer group and 1.25 ± 0.30 in the control group ($P = 0.004$). The corresponding values for CD8⁺Foxp3⁺Treg were 0.71 ± 0.17 and 0.63 ± 0.16 percent ($P = 0.080$). The mean of white blood cell (WBC) count and lymphocyte population in the breast cancer group were lower than the control group but the differences were not statistically significant.

Conclusion: According to our findings, altered frequency of Treg might be involved in the prognosis of breast cancer. This may be a contributory factor in the susceptibility to breast cancer. Therefore, targeting Treg can be a novel therapeutic approach in this disease.

Keywords: Breast cancer, Regulatory T cells, Foxp3, CD4, CD8, T cells

¹ Associate Professor, Department of Immunology, School of Medicine, Isfahan University of Medical Sciences, Isfahan, Iran
² Department of Immunology, School of Medicine, Isfahan University of Medical Sciences, Isfahan, Iran

³ Associate Professor, Department of Internal Medicine, School of Medicine, Isfahan University of Medical Sciences, Isfahan, Iran

⁴ Department of Radiotherapy and Oncology, Seyed-Al-Shohada Hospital, Isfahan University of Medical Sciences, Isfahan, Iran

⁵ Professor, Department of Immunology, School of Medicine, Isfahan University of Medical Sciences, Isfahan, Iran

Corresponding Author: Alireza Andalib PhD, Email: andalib@med.mui.ac.ir